

КОМБИНАЦИОННОЕ РАССЕЯНИЕ СВЕТА, КАК МЕТОД АНАЛИЗА ОРИЕНТИРОВАННЫХ ПЛЕНОК $\text{YBa}_2\text{Cu}_3\text{O}_{7-\delta}$

М.В.Белоусов¹⁾, В.Ю.Давыдов, С.Ф.Карманенко, О.В.Косогов

Показано, что комбинационное рассеяние света (КРС) дает информацию об ориентации кристаллографических осей, содержании лабильного кислорода, а также о степени и характере неупорядоченности ориентированных пленок $\text{YBa}_2\text{Cu}_3\text{O}_{7-\delta}$. Обнаружена корреляция между температурой перехода в сверхпроводящее состояние T_{c0} и шириной линии $\nu_1 = 500 \text{ см}^{-1}$.

В данной работе исследуются тонкие ($0,8 - 1,2 \text{ мкм}$) монокристаллические пленки высокотемпературного сверхпроводника $\text{YBa}_2\text{Cu}_3\text{O}_{7-\delta}$, приготовленного магнетронным распылением керамических мишней в смеси аргона с кислородом. Пленки наносились на подогретые до $500 - 700^\circ \text{C}$ полированые пластины SrTiO_3 и ZrO_2 . КРС возбуждалось Ar^+ -лазером ($\lambda_0 = 514,5 \text{ нм}$, мощность 30 Вт) и регистрировалось спектрометром ДФС-24.

Экспериментальные результаты для шести пленок с различными ориентациями кристаллографических осей и температурами переходов представлены на рис. 1 и рис. 2. Нумерация кривых совпадает с нумерацией образцов. Геометрия рассеяния показана на вставке рис. 2. Для ее описания используется лабораторная система координат x, y, z , кристаллографические оси a, b, c и оси a', b' повернутые под 45° к a и b . Нормаль к поверхности образца — n .

Исследования проведенные на керамиках $^{1-5}$ и монокристаллах $^{6-8}$, также анализ интенсивностей КРС 9 , позволили надежно установить частоты и поляризацию трех колебаний кислородной подрешетки $\text{YBa}_2\text{Cu}_3\text{O}_{7-\delta}$. Одно из них — ν_1 , отвечает полносимметричному валентному колебанию группы $\text{O}(4) - \text{Cu}(1) - \text{O}(4)^{2)}$. Частота ν_1 меняется от 505 до 470 см^{-1} при изменении δ от 0 до $1^{2-4, 8}$, а поляризация определяется тензором КРС с компонентами $\alpha_{cc} \gg \alpha_{aa}, \alpha_{bb}$. Внеплоскостным колебаниям кислорода в слоях CuO_2 отвечают линии $\nu_2 = 430 \text{ см}^{-1}$ (синфазные колебания $\text{O}(2)$ и $\text{O}(3)$, тензор КРС $\alpha_{cc} \gg \alpha_{aa}, \alpha_{bb}$) и $\nu_3 = 335 \text{ см}^{-1}$ (противофазные колебания $\text{O}(2)$ и $\text{O}(3)$, тензор КРС $\alpha_{aa} \approx -\alpha_{bb}$ или в осях $a', b' \alpha_{a'b'} \gg \gg \alpha_{a'a'}$). Этих данных достаточно, чтобы провести интерпретацию полученных нами спектров КРС и выявить скрытую анизотропию пленок даже в том случае, когда они оптически изотропны при рассмотрении в скрещенных поляризаторах.

У пленок 1 и 2, выращенных на SrTiO_3 (110), ось c лежит в плоскости ($c \perp n$). Они обладают макроскопической анизотропией оптических и электрических свойств. КРС этих пленок полностью поляризовано и подобно КРС объемного монокристалла. В cc -поляризации наблюдаются сильные линии ν_1 и ν_2 . При повороте пленки на 90° вокруг n в спектре остаются только слабые полосы ≈ 500 и $\approx 580 \text{ см}^{-1}$. Отсутствие здесь линии ν_3 означает, что этот спектр соответствует $a'a'$ -поляризации и, следовательно, оси a и b в пленках 1 и 2 лежат под углом 45° к поверхности.

Пленки 3 и 4 выращены на SrTiO_3 (100), где в зависимости от условий роста получаются пленки с $a \parallel n$ или $c \parallel n$ ¹⁰.

В спектре КРС пленки 3 кроме линии ν_3 наблюдаются сильные линии ν_1 и ν_2 . Интенсивность КРС, измеренного в xx -поляризации не зависит, а в xz -поляризации сильно зависит от ориентации образца. Причем в xz -поляризации интенсивность КРС минимальна, когда кристаллографические оси подложки параллельны x . Следовательно, пленка 3 состоит из микробластей с взаимно перпендикулярным расположением осей $b \perp n$ и $c \perp n$, что согласуется с¹⁰.

1) НИИ физики при ЛГУ.

2) Использованы принятые в $^{1-7}$ обозначения позиций атомов.

В спектре КРС пленки 4 полностью отсутствуют линии ν_1 и ν_2 и следовательно в ней $c \parallel n$. Наряду с линией $\nu_3 = 335 \text{ см}^{-1}$ в спектре видны линии 296 и 635 см^{-1} . Интенсивность КРС слабо зависит от ориентации, что, возможно, обусловлено упругими напряжениями из-за большого отличия постоянных решетки $\text{YBa}_2\text{Cu}_3\text{O}_{7-\delta}$ по оси a и SrTiO_3 (100) 10 .

КРС от пленки 5, выращенной на ZrO_2 (100), подобно КРС от $a-b$ -плоскости объемного монокристалла. В a' - b' -поляризации кроме линии $\nu_3 = 335 \text{ см}^{-1}$ видны также слабые полосы $\approx 500, 580 \text{ см}^{-1}$ и резкая линия 230 см^{-1} , высокочастотное крыло которой сливается с ν_3 . При переходе к $a-b$ -поляризации интенсивность КРС уменьшается почти до нуля, что говорит о высокой степени ориентированности пленки.

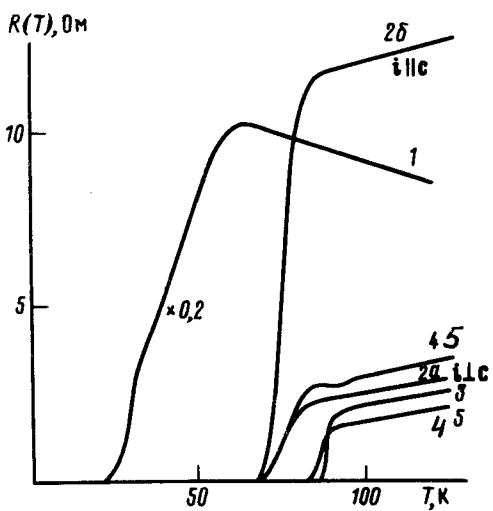


Рис. 1. Температурные зависимости сопротивления $R(T)$ ориентированных пленок $\text{YBa}_2\text{Cu}_3\text{O}_{7-\delta}$ на различных подложках: 1 – SrTiO_3 (110), $T_{c0} = 22 \text{ K}$; 2а, 2б – SrTiO_3 (110), $T_{c0} = 68 \text{ K}$; 3 – SrTiO_3 (100), $T_{c0} = 88 \text{ K}$; 4 – SrTiO_3 (100), $T_{c0} = 83 \text{ K}$; 5 – ZrO_2 (100), $T_{c0} = 68 \text{ K}$

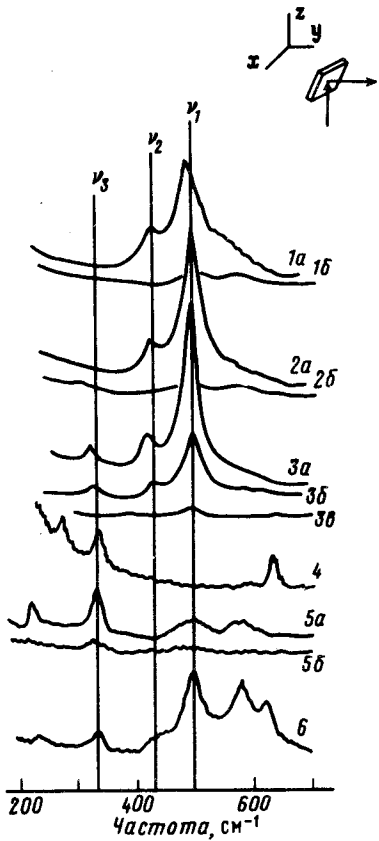


Рис. 2. Поляризованные спектры КРС ориентированных пленок $\text{YBa}_2\text{Cu}_3\text{O}_{7-\delta}$. Цифры у кривых указывают номера образцов, описанных в тексте. Спектры 1а, б; 2а, б; 3а измерены в xx-поляризации, остальные в xz-поляризации. Ориентация осей а, б, с в лабораторной системе координат соответствует: 1а; 2а – $x \parallel c$; 1б, 2б – $x \perp c$; 3а, 3б – $x \parallel c$, $3б$ – x под 45° к с и б; 4, 5а – $x \parallel a'$, 5б – $x \parallel a$

В пленке 6, полученной на SrTiO_3 (111), интенсивность КРС не зависит от ее ориентации. Отношение интенсивностей линий $\nu_1 = 500 \text{ см}^{-1}$ и $\nu_3 = 332 \text{ см}^{-1}$ указывает на то, что ось c здесь направлена под углом к поверхности. Кроме основных линий наблюдаются линии $\approx 600, \approx 630 \text{ см}^{-1}$, относительные интенсивности которых меняются от образца к образцу.

Обратим внимание на корреляцию ширины линии ν_1 и температуры перехода T_{c0} . В пленке 1 ($T_{c0} = 22 \text{ K}$) эта линия имеет наименьшую частоту $\nu_1 = 492 \text{ см}^{-1}$, что говорит о дефиците лабильного кислорода O(1), затянутое высокочастотное крыло и наибольшую ширину 60 см^{-1} , что указывает на неупорядоченность подрешетки O(4). В пленках 2 ($T_{c0} = 68 \text{ K}$) и 3 ($T_{c0} = 88 \text{ K}$) частота $\nu_1 = 500 \text{ см}^{-1}$ выше, а ее ширина меньше (40 и 32 см^{-1} соответственно). В пленке 6 ($T_{c0} = 88 \text{ K}$) ширина линии ν_1 не превышает 40 см^{-1} . Точное определение ширины линии ν_1 затруднено сложным характером наблюдаемого здесь спектра.

Анализ полученных результатов позволяет высказать следующие предположения о природе трех полос КРС частоты и интенсивности которых сильно зависят от технологии получения и термообработки образцов. КРС на частотах $230 - 330 \text{ см}^{-1}$, вероятно, обусловлено виброволновыми колебаниями O(2), O(3) локализованными у дефектов, расположенных вблизи плоскостей CuO₂. Полоса $580 - 600 \text{ см}^{-1}$ может быть приписана валентным колебаниям дефектных (без одного атома кислорода) групп O(4) – Cu(1) – O(4). Полоса $630 - 640 \text{ см}^{-1}$ обусловлена валентными колебаниями связи Cu(1) – O(1) проявляющимися в КРС, например, вследствие "изломов" цепочки.

Авторы благодарны В.Н.Назарову за помощь в эксперименте.

Литература

1. Stavola M., Krol D.M., Weber W. et al. Phys. Rev. B, 1987, 36, 850.
2. Thomsen C., Liu R., Bauer M. et al. Sol. St. Comm., 1988, 65, 55.
3. Hangyo M., Nakashima I., Mizguchi K. et al. Sol. St. Comm., 1988, 65, 835.
4. Kirillov D., Collman J.P., McDevitt J.T. et al. Phys. Rev. B, 1988, 37, 3660.
5. Ребане Л.А., Фильберг Т.А., Фефер Е.М. и др. Письма в ЖЭТФ, 1988, 47, 360.
6. Кулаковский В.Д., Мисочко О.В., Тимофеев В.Б. и др. Письма в ЖЭТФ, 1987, 46, 460.
7. Баженов А.В., Гаспаров Л.В., Кулаковский В.Д. и др. Письма в ЖЭТФ, 1988, 47, 162.
8. Александров И.В., Быков А.Б., Гончаров А.Ф. и др. Письма в ЖЭТФ, 1988, 47, 184.
9. Рашиба Э.И., Шерман Е.А. Письма в ЖЭТФ, 1988, 47, 404.
10. Chen C.H., Kwo J., Hong M. Appl. Phys. Lett., 1988, 52, 841.

Ленинградский электротехнический институт
им. В.И.Ульянова (Ленина)

Физико-технический институт им. А.Ф.Иоффе
Академии наук СССР

Поступила в редакцию
4 августа 1988 г.